

## การเพิ่มสมรรถนะความร้อนในท่อเครื่องแลกเปลี่ยนความร้อนที่มีห่วงรูปตัววีแบบไม้เต็มความยาว

### THERMAL PERFORMANCE ENHANCEMENT IN A HEAT EXCHANGER TUBE FITTED WITH SHORT-LENGTH V-SHAPE RINGS

สุริยา โชคเพ็มพูน<sup>1</sup>

วิทยร์ ชิงถ้วยทอง<sup>2</sup>

พงษ์เจต พรมวงศ์<sup>3</sup>

โชคิตวุฒิ ประสะพุช<sup>2</sup>

<sup>1</sup>สาขาวิชาวิศวกรรมเครื่องกล

คณะเทคโนโลยีอุตสาหกรรม

มหาวิทยาลัยเทคโนโลยีราชมงคลอีสาน

วิทยาเขตสกลนคร 199 ม.3

ต.พังโคน อ.พังโคน จ.สกลนคร 47160

<sup>2</sup>สาขาวิชาเทคโนโลยีอุตสาหกรรม

คณะเทคโนโลยีอุตสาหกรรม

มหาวิทยาลัยราชภัฏเทศาทรี

321 ต.ทะเลชบศร อ.เมือง

จ.ลพบุรี 15000

<sup>3</sup>ภาควิชาวิศวกรรมเครื่องกล

คณะวิศวกรรมศาสตร์

สถาบันเทคโนโลยีพระจอมเกล้าเจ้าคุณ

ทหารลาดกระบัง เขตลาดกระบัง

กรุงเทพฯ 10520 โทร 0-2326-4197

โทรสาร 0-2326-4198

บทคัดย่อ การศึกษาเชิงทดลองถึงพฤติกรรมการการถ่ายโอนความร้อนและการไหลท่อด้วยการใส่ห่วงรูปตัววีภายในท่อเครื่องแลกเปลี่ยนความร้อนที่ผิวคงที่ สามารถที่ใช้ในการทดสอบถูกนำเสนอในรูปเลขเรียโนล์ด์ในช่วง 5000 ถึง 25,000 ห่วงรูปตัววีถูกใช้เป็นตัวสร้างการไหลแบบหมุนวน (vortex flow) เพื่อสร้างการไหลแบบหมุนวนที่แข็งแรงภายใต้ท่อทดสอบในการทดลองชั้นส่วนห่วงรูปตัววีถูกติดตั้งบนโครงลวดด้วยระยะห่างเท่ากับ 50 มิลลิเมตร ตลอดความยาว 2000 มิลลิเมตร (ติดวงแหวนเต็มความยาวท่อทดสอบ) และกรณีติดห่วงรูปตัววีแบบไม้เต็มความยาวจะมีการศึกษาโดยการเน้นช่องว่างด้วยอัตราส่วนช่องว่าง ( $R_s$ ) เท่ากับ 0.5, 0.6, 0.7, 0.8 และ 0.9 ค่าการถ่ายเทความร้อนและความดันสูญเสียถูกนำเสนอในรูปเลขนัสเซลท์และตัวประกอบความเสียดทานตามลำดับ ผลการทดลองพบว่ากรณีใส่ห่วงรูปตัววีที่ค่า  $R_s = 0.9$  ให้ค่าสมรรถนะการถ่ายเทความร้อนสูงสุด.

คำสำคัญ: การถ่ายเทความร้อน, ตัวประกอบความเสียดทาน, การไหลหมุนวน, ห่วงตัววี, สมรรถนะการเพิ่มการถ่ายเทความร้อน

**Abstract** An experimental investigation of heat transfer and fluid flow characteristics in a tube heat exchanger with V-Shape Rings insert under uniform wall heat flux boundary conditions. The air in the tube are presented for Reynolds number (Re) in a range of 5000 to 25,000. The V-Shape Rings is introduced as a vortex flow device for generating a strong vortex flow in the test tube. In this work, a V-Shape Rings elements were mounted on the steel rod with a single pitch length (P) of 50 mm throughout 2000 mm (full-length) while the short-length mounted at the entry test section are used at several space ratios (SR) of 0.5, 0.6, 0.7, 0.8 and 0.9. The variation of heat transfer and pressure loss are displayed in the form of Nusselt number (Nu) and friction factor (f), respectively. The experimental result indicates that V-Shape Rings at  $R_s = 0.9$  provide the highest thermal performance.

**Keywords:** heat transfer, friction factor, vortex flow, V-Shape Rings, thermal performance

#### 1. บทนำ

ปัจจุบันเครื่องแลกเปลี่ยนความร้อนได้มีการพัฒนาอย่างต่อเนื่อง เพื่อต้องการเพื่อสมรรถนะของเครื่องแลกเปลี่ยนความร้อนให้สูงขึ้น เพื่อนำไปออกแบบเครื่องแลกเปลี่ยนความร้อนให้มีขนาดเล็กลงในขนาดที่ค่าสัมประสิทธิ์การถ่ายเทความร้อนยังเท่าเดิม ซึ่งจะส่งผลให้สามารถลดต้นทุนการผลิตในอุตสาหกรรมได้ จากการศึกษาจิัยพบว่า ตัวแปรสำคัญในการพัฒนาเครื่องแลกเปลี่ยนความร้อนให้มีสมรรถนะความร้อนสูงขึ้นคือการเพิ่มสัมประสิทธิ์การถ่ายเทความร้อนให้สูงขึ้น ในขณะที่ค่าตัวแปรตัวเสียดทานเพิ่มขึ้นไม่มาก สำหรับวิธีการเพิ่มสัมประสิทธิ์การถ่ายเทความร้อนมีอยู่ 2 วิธี คือ วิธีแบบ Active และ

Passive โดยการเพิ่มการถ่ายเทความร้อนโดยวิธีแบบ Active เป็นการออกแบบเครื่องแลกเปลี่ยนความร้อนให้สามารถนำกลไกติดตั้งเข้ากับระบบของเหลวในเครื่องแลกเปลี่ยนความร้อน ซึ่งวิธีการนี้จะมีการจ่ายพลังงานเพิ่มทำให้ของเหลวเกิดการเปลี่ยนรูปแบบการไหลภายใต้ตัวแลกเปลี่ยนความร้อน และการเพิ่มการถ่ายเทความร้อนโดยวิธีแบบ Passive เป็นวิธีการล้ายกับวิธีการแบบ Active คือการทำให้ของเหลวเกิดการเปลี่ยนรูปแบบการไหลแต่รูปแบบ Passive จะอาศัยตัวสร้างกระแสปั่นป่วนในลักษณะติดตั้งภายในห้อง ซึ่งวิธีการนี้ไม่ต้องมีการจ่ายพลังงานเพิ่มและยังเป็นวิธีการที่ได้รับความนิยมในปัจจุบัน สำหรับวิธีการเพิ่มการถ่ายเทความร้อนแบบ Passive ที่ได้มีการศึกษาไว้ยังมา

ตลอดจะแบ่งออกเป็น 2 กลุ่มใหญ่ คือ 1. การติดตั้งตัวสร้างความบันป่วนที่ทำให้เกิดการไหลแบบหมุนคง ซึ่งเทคโนโลยีการสร้างการไหลแบบหมุนคงสามารถแบ่งออกได้อีก 2 แบบ คือ การไหลแบบหมุนคงต่อเนื่อง (continuous swirl flow) และการไหลแบบหมุนคงเฉพาะช่วงเริ่มต้น (decaying swirl flow) การไหลแบบหมุนคงต่อเนื่องจะเกิดการหมุนวนตลอดความยาวของท่อ ในขณะที่การไหลแบบหมุนคงเฉพาะช่วงเริ่มต้นจะเกิดการหมุนวนสูงสุดที่บริเวณช่วงต้นท่อและค่อยๆ เสื่อมถอยตามแนวแกนการไหล 2. การติดตั้งตัวสร้างความบันป่วน (vortex flow) ซึ่งเป็นวิธีการที่กำลังได้รับสนใจในขณะนี้เนื่องจากวิธีการดังกล่าวสามารถเพิ่มค่าการถ่ายเทความร้อนได้สูงมาก แต่ก็พบว่าวิธีการดังกล่าวจะทำให้ค่าตัวแปรเสียดทานเพิ่มสูงขึ้นมาก

งานวิจัยได้ให้ความสนใจการเพิ่มการถ่ายเทความร้อนโดยใช้เทคโนโลยีการติดตั้งตัวสร้างความบันป่วนที่ทำให้เกิดการหมุนวนหรือการกระแสกบบริเวณตัวสร้างความบันป่วน (vortex flow) ซึ่งมีข้อสูตรงานวิจัยที่เกี่ยวข้องดังนี้ ซึ่งถูกหง [1] ทำการศึกษาการเพิ่มประสิทธิภาพการถ่ายเทความร้อนในห้องลมโดยการติดตั้งตัวสร้างความบันป่วนภายในห้องที่มีพลังความร้อนคงที่ (constant heat-flux) โดยใช้ลดขนาดเป็นตัวสร้างความบันป่วน ใส่ภายในห้องทดสอบซึ่งมีการใส่บีดไว้ภายในลวดขนาดลดลง ความยาวเพื่อสร้างการไหลแบบหมุนวนบริเวณผิวห้องทดสอบ อิทธิพลของค่าอัตราส่วนระหว่างพิธีร์ลด (P<sub>c</sub>) ต่อเส้นผ่านศูนย์กลางเส้นลวด (d<sub>c</sub>) และอัตราส่วนระหว่างพิธีร์บีด (P<sub>b</sub>) ต่อความกว้างใบบีด (W), [CR : y] ในการถ่ายเทความร้อนและสัมประสิทธิ์แรงเสียดทานในห้องทดสอบที่ใช้ในการทดสอบ อัตราการไหลของอากาศใช้ทดสอบที่ค่าตัวเลขเรย์โนล์ด (Reynolds Numbers, Re) ระหว่าง 3000 – 20,000 ผลจากการทดสอบนำไปเปรียบเทียบกับกรณีไม่ลดขนาดหรือใบบีดอย่างเดียว ในช่วง 4180 – 26,000 งานวิจัยนี้มีจุดมุ่งหมายของการใช้แผ่นเจาะพิธีร์ (WPT) คือ เพื่อการสร้างกระแสของการหมุนวนไปทำลายชั้นขอบเขตความร้อนบนผนังท่อ โดยทำการทดลองที่มุมเอียงของปีกเท่ากับ 30° ที่อัตราส่วนความสูงปีกต่อความสูงท่อ (BR = 0.1, 0.15, 0.2, 0.25 และ 0.3) และระยะพิธีร์ (PR = 0.5, 1.0 และ 1.5) เพื่อทำการประสิทธิภาพการถ่ายเทความร้อนและการสูญเสียความดันเนื่องจากการไหลภายในห้องที่มีพลังความร้อนคงที่ ซึ่งผลการทดลองพบว่าค่า系数 (Nu) และแรงเสียดทาน (f) จะเพิ่มขึ้นที่ค่า BR สูง และจะลดลงที่ค่า BR ต่ำตามลำดับ โดยมีประสิทธิภาพการถ่ายเทความร้อนสูงสุด (TEF) เท่ากับ 1.71 เมื่อเทียบกับแผ่นที่มีการติดปีกและใบบีดจะให้ประสิทธิภาพการถ่ายเทความร้อนเฉลี่ยสูงกว่าประมาณ 1.2 เท่า

สำหรับทความฉบับนี้ได้ทำการศึกษาการเพิ่มสัมประสิทธิ์การถ่ายเทความร้อนและสัมประสิทธิ์แรงเสียดทาน โดยใช้เทคโนโลยีการติดตั้งตัวสร้างความบันป่วนที่ทำให้เกิดการหมุนวนหรือการกระแสกบบริเวณตัวสร้างความบันป่วน (vortex flow) สำหรับตัวสร้างความบันป่วนภายในห้องและแลกเปลี่ยนความร้อนเป็นแบบแหนวดวี ซึ่งตัวสร้างความบันป่วนรูปแบบดังกล่าวสามารถเพิ่มความเข้มของกระแสหมุนวนสูงมาก (vortex flow) โดยทำการทดสอบที่ค่าตัวเลขเรย์โนล์ด (Reynolds Numbers, Re) จะอยู่ช่วงระหว่าง 5,000 – 25,000

#### สัญลักษณ์

$A$	= พื้นที่ผิวการถ่ายเทความร้อน ( $m^2$ )
$C_p$	= ความจุความร้อนจำเพาะ ( $J/kg K$ )
$D$	= เส้นผ่านศูนย์กลางห่อ ( $m$ )
$f$	= ตัวประกอบความเสียดทาน
$f_p$	= ตัวประกอบความเสียดทานห่อเปล่า
$h$	= สัมประสิทธิ์การพาความร้อน ( $w/m^2 K$ )
$I$	= กระแสไฟฟ้า ( $A$ )
$k$	= ค่าการนำความร้อน ( $W/m K$ )

$L$	= ความยาวท่อทดสอบ (m)
$\dot{m}$	= อัตราการไหลเชิงมวล (kg/s)
$Nu$	= เลขนัสเซลต์
$Nu_p$	= เลขนัสเซลต์ของท่อเปล่า
$P$	= ความดัน (Pa)
$Q_{air}$	= อัตราการถ่ายเทความร้อนอากาศ (W)
$Q_{conv}$	= อัตราการถ่ายเทความร้อนโดยการพา (W)
$Re$	= เลขเรย์โนลต์
$T_b$	= อุณหภูมิอากาศเฉลี่ย ( $^{\circ}\text{C}$ )
$T_i$	= อุณหภูมิที่ทางเข้า ( $^{\circ}\text{C}$ )
$T_o$	= อุณหภูมิที่ทางออก ( $^{\circ}\text{C}$ )
$\tilde{T}_w$	= อุณหภูมิที่ผิวท่อเฉลี่ย ( $^{\circ}\text{C}$ )
$U$	= ความเร็วเฉลี่ยของไหหล (m/s)
$V$	= แรงดันไฟฟ้า (Voltage)
$W$	= ความกว้างแผ่นกัน (m)
$y$	= ระยะการบิด (m)
$\rho$	= ความหนาแน่นของไหหล ( $\text{kg}/\text{m}^3$ )
$\mu$	= ความหนืดสัมมูลน์ ( $\text{Pa s}$ )
$\eta$	= สมรรถนะการเพิ่มการถ่ายเทความร้อน (-)

## 2. สมมุติฐานและทฤษฎี

การพิจารณาประสิทธิภาพการถ่ายเทความร้อนของท่อกลมหน้าตัดคงที่ที่มีการทดสอบด้วยชิ้นงานทดสอบไหหลภายในท่อแลกเปลี่ยนความร้อน จำเป็นจะต้องพิจารณาทั้งในส่วนพลังงานที่ต้องใช้ในการขับเคลื่อนพัดลมและการถ่ายเทความร้อน โดยพลังงานที่พัดลมใช้ในการขับเคลื่อนอากาศให้ไหหลผ่านท่อกลมสามารถพิจารณาได้ดัง

$$\dot{W}_p = Q \Delta P \quad (1)$$

$$\Delta P = f \frac{\rho L \bar{V}^2}{2D} \quad (2)$$

$$\Delta P = \rho_{water} g h \quad (3)$$

การสมดุลพลังงานกรณีพลักซ์ความร้อนคงที่ (Constant Heat flux)

$$\dot{Q} = \dot{m} C_p (T_i - T_o) = h A_s (\bar{T}_s - T_b) \quad (4)$$

$$\text{โดยที่ } T_b = (T_o + T_i)/2$$

ค่าตัวเลขนัสเซลต์ (Nusselt Number,  $Nu_D$ )

$$Nu_D = \frac{hD}{k} \quad (5)$$

ค่าตัวเลขเรย์โนลต์ (Raynold number,  $Re$ )

$$Re = \frac{\rho \bar{V} D}{\mu} \quad (6)$$

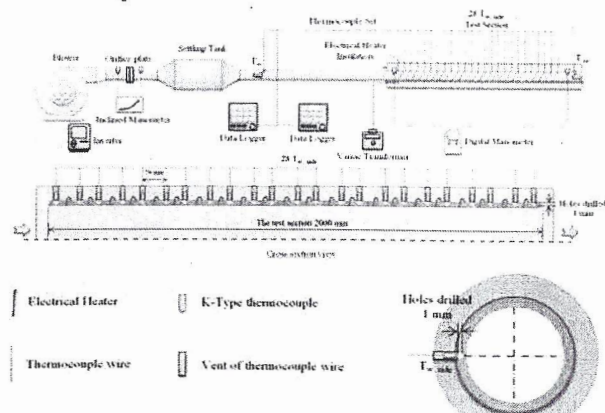
ประสิทธิภาพการถ่ายเทความร้อน ( $\eta_{pp}$ )

$$TEF = (Nu_t / Nu_p) / (f_t / f_p)^{1/3} \quad (7)$$

## 3. อุปกรณ์ทดสอบและวิธีการทดลอง

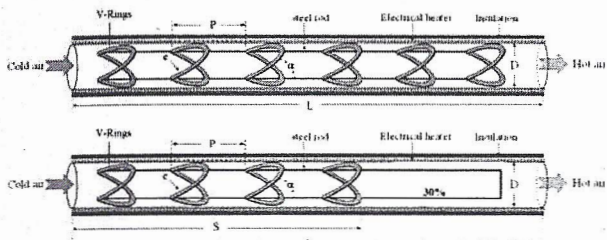
อุปกรณ์ที่ใช้ในการทดสอบประกอบด้วยอุปกรณ์ต่างๆ ตามรูปที่ 1 โดยใช้เครื่องกำเนิดลม (blower) ขนาด 2 HP เป็นแหล่งกำเนิดลม ซึ่งควบคุมปริมาณลมให้หลเข้าเครื่องทดสอบโดยเครื่องควบคุมการจ่ายปริมาณกระแสไฟฟ้า (inverter) ของเครื่องกำเนิดลม โดยปริมาณลมแต่ละช่วงการทดลองจะถูกวัดโดยเครื่องมือวัดความเร็ว (orifice meter) อากาศที่ไหหลเข้าชุดทดสอบจะต้องไหหลผ่านท่อกลมขนาดเส้นผ่านศูนย์กลางคงที่เท่าเครื่องทดสอบและมีระยะมากกว่าหรือเท่ากับระยะ Hydrodynamic development length ซึ่งมีหน้าที่ทำให้อากาศที่ไหหลเข้าชุดทดสอบมีลักษณะเป็นการไหหลแบบ fully develop และไหหลเข้าเครื่องทดสอบ โดยเครื่องทดสอบได้มีการติดตั้งอุปกรณ์กำเนิดความร้อน (heater) ตลอดความยาวท่อขนาด 2000 วัตต์ ที่ผิวท่อด้านนอกถูกติดตั้งสายวัดอุณหภูมิ (thermocouple type K) จำนวน 28 จุดตลอดความยาวท่อและที่ทางเข้าและทางออกของท่อได้ติดตั้งสายวัดอุณหภูมิแบบ RTD PT100 โดยสายวัดอุณหภูมิถูกเชื่อมต่อเข้ากับเครื่องวัดอุณหภูมิ (Data logger) จำนวน 2 เครื่อง และที่ทางเข้าและทางออกของท่อมีการติดตั้งชุดวัดความดันต่อกร้อม (Manometer)

ชิ้นงานทดสอบเป็นแบบแหวนวงรี (V-Shape Rings Turbulater) ศึกษาการเพิ่มการถ่ายเทความร้อน ( $Nu$ ) ด้วยประกอบเสียดทาน ( $f$ ) และสมรรถนะการเพิ่มการถ่ายเทความร้อน ( $TEF$ ) โดยศึกษาที่ค่าอัตราส่วนการขวางการไหหล ( $R_s$ ) = 0.15 ค่าอัตราส่วนระหบพิต ( $R_p$ ) = 1.0 และค่าอัตราส่วนระหว่างส่วนที่ไม่ติดตั้งแหวนวงรีต่อความยาวท่อ ( $R_s$ ) = 0.5, 0.6, 0.7, 0.8, 0.9 และ 1.0 ขนาดของแหวนวงรีมีขนาดเส้นผ่านศูนย์กลางและความยาวขนาด 48 มิลลิเมตรและยาว 2000 มิลลิเมตรตามลำดับ โดยเครื่องทดสอบจะต้องมีการหุ้มจนวนกันความร้อนอย่างดีเพื่อป้องกันการสูญเสียความร้อนจากเครื่องกำเนิดความร้อนไหหลออกสู่บรรยากาศภายนอก

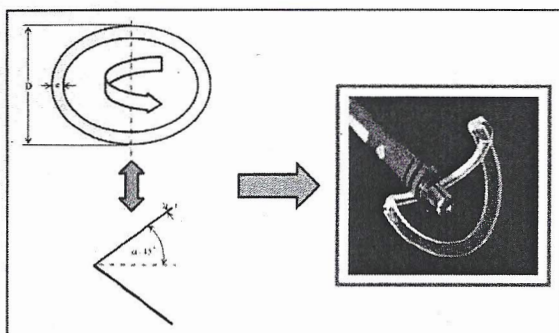


รูปที่ 1 ไดอะแกรมชุดทดสอบ

การทดสอบโดยการใส่แหวนรูปดัววีด้านข้าง (side) อุ่นหกมิผิว หลังจากนั้นทำการเปิดเครื่องกำเนิดความร้อนโดยและเครื่องกำเนิดลม (blower) ทำการปรับปริมาณการไหลของอากาศให้ได้ตามที่ต้องการผ่านเครื่องความคุณอัตราการไหล (inventor) ให้อยู่ในช่วงตัวเลขเรย์โนลต์ 5000 – 25000 โดยในแต่ช่วงที่ทดสอบ จะต้องรอให้อุณหกมิผิวที่อุททดสอบและอุณหกมิของอากาศที่ทางเข้าและทางออกของท่อทั้งท่อที่ก่อนทำการบันทึกค่า โดยทำการวัดค่าอุณหกมิผิวท่อทั้งหมด 28 จุดและอุณหกมิที่ทางเข้าและทางออกของท่ออีก 2 จุด และบันทึกค่าความดันต่อกองค์รวมระหว่างทางเข้าและทางออก หลังจากทดสอบเรียบร้อยให้ทำการหมุนชิ้นงานให้แหวนชิ้นงานด้านบน (top) อุ่นหกมิผิว และทำการทดสอบอีกรอบ



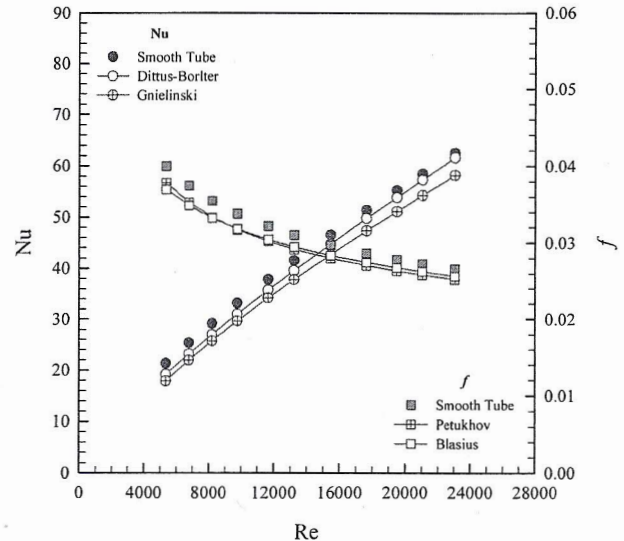
รูปที่ 2 ลักษณะการจัดวางแนวรูปดัววี



รูปที่ 3 ลักษณะแห่งแนวรูปดัววีที่ค่า  $R_B = 0.15$

#### 4. ผลการทดลอง

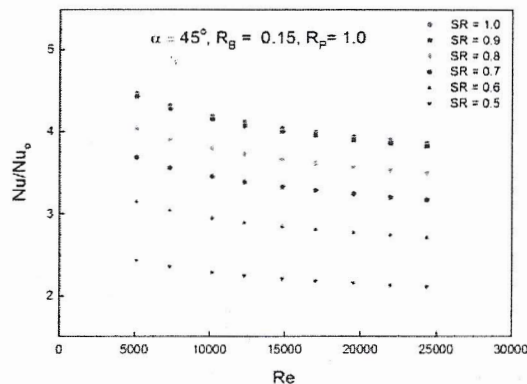
จากรูปที่ 4 แสดงความสัมพันธ์ระหว่างค่าตัวเลขเรย์โนลต์ ( $Re$ ) ในช่วง  $5000 < Re < 25000$  และค่าตัวเลขนัสเชลล์ (Nusselt numbers;  $Nu$ ) เป็นการเปรียบค่าตัวเลขนัสเชลล์ที่ได้จากการที่ทดสอบท่อผิวเรียบกับสหพันธ์ของ Dittus-Borlter และค่าตัวประกอบเสียดทาน ( $\alpha$ ) ได้เปรียบเทียบกับสหพันธ์ของ Blasius จากการเปรียบเทียบพบว่าค่าตัวเลขนัสเชลล์และค่าตัวประกอบเสียดทานมีค่าใกล้เคียงกัน



รูปที่ 4 ความสัมพันธ์ระหว่างตัวเลขเรย์โนลต์ และ ตัวเลขนัสเชลล์ของท่อ เปلا

จากรูปที่ 5 ความสัมพันธ์ระหว่างตัวเลขเรย์โนลต์และอัตราส่วนตัวเลขนัสเชลล์กรณีที่มีการใส่แหวนรูปดัววีที่มีค่า  $R_S$  ต่างๆ จากการทดลองพบว่าการใส่แหวนรูปดัววีที่ค่า  $R_S$  ต่างๆ สามารถเพิ่มค่าการถ่ายเทขายความร้อนได้ โดยแหวนรูปดัววีที่ค่า  $R_S = 1.0$  (แหวนถูกติดตั้งเต็มตลอดความยาวท่อ) และ 0.9 สามารถเพิ่มค่าการถ่ายเทขายความร้อนได้ไก้ลักษณะกัน และลดลงที่ค่า  $R_S = 0.8, 0.7, 0.6$  และ 0.5 ตามลำดับ การถ่ายเทขายความร้อนที่เพิ่มขึ้นจากห่อผิวเรียบเกิดจากการใส่แหวนรูปดัววีภายในห่อแลกเปลี่ยนความร้อนจะไปสร้างการไหลแบบวน(vortex flow) บริเวณแห่งแนวรูปดัววีส่งผลให้บริเวณดังกล่าวมีอัตราการแลกเปลี่ยนความร้อนที่สูงกว่าบริเวณที่ไม่มีแหวนรูปดัววี

สำหรับการใส่แหวนรูปดัววีในห่อแลกเปลี่ยนความร้อน เมื่อสนใจค่าการถ่ายเทขายความร้อนที่เพิ่มขึ้น ( $Nu/Nu_0$ ) พบร่วมกันว่าการใส่แหวนรูปดัววีสามารถเพิ่มค่าการถ่ายเทขายความร้อนได้สูงสุดที่ค่า  $R_S = 1.0$  และ 0.9 อยู่ในช่วง 3.8-4.4 จากห่อผิวเรียบ

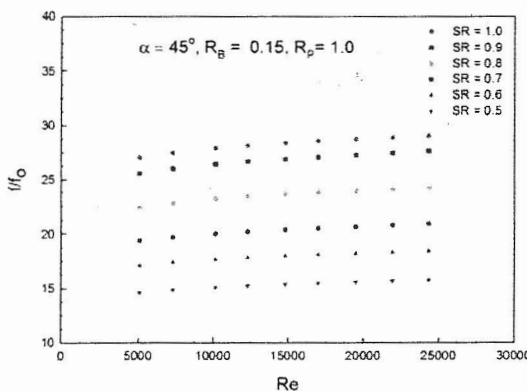


รูปที่ 5 ความสัมพันธ์ระหว่างตัวเลขเรย์โนลต์และอัตราส่วนตัวเลขนัสเชลล์

จากรูปที่ 6 ความสัมพันธ์ระหว่างความสัมพันธ์ระหว่างตัวเลขเรย์โนลต์และสัดส่วนตัวประกอบเสียดทานกรณีที่มีการใส่แหวนรูปดัววีที่มีค่า  $R_S$  ต่างๆ จากการทดลองพบว่าการใส่แหวนรูปดัววีที่ค่า  $R_S$  ต่างๆ

สามารถเพิ่มค่าการถ่ายเทความร้อนได้ โดยเห็นรูปด้วยที่ค่า  $R_s = 1.0$  จะทำให้เกิดแรงต้านของอากาศสูงสุดและลดลงที่ค่า  $R_s = 0.9, 0.8, 0.7, 0.6$  และ  $0.5$  ตามลำดับ เนื่องจากการใส่เห็นรูปด้วยที่ในท่อแลกเปลี่ยนความร้อนจะสามารถเพิ่มค่าการถ่ายเทความร้อนให้สูงขึ้น ได้แต่ผลของการใส่เห็นรูปด้วยที่ไปข้างการไหลภายในท่อแลกเปลี่ยนความร้อน ทำให้อากาศภายในท่อแลกเปลี่ยนความร้อนมีการไหลในรูปแบบที่เปลี่ยนไปในลักษณะเป็นกลุ่มกระแสไหลวน ส่งผลให้ค่าตัวประกอบเสียดทานเพิ่มขึ้นจากท่อผิวเรียบ

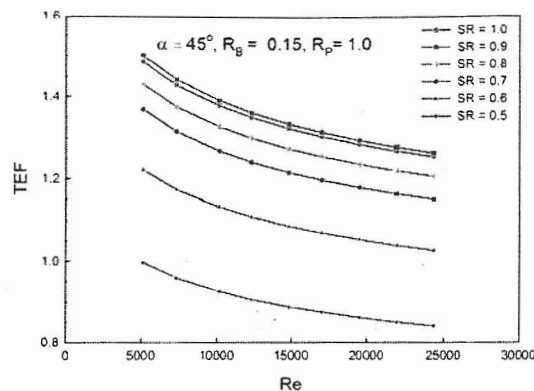
สำหรับการใส่เห็นรูปด้วยท่อแลกเปลี่ยนความร้อน เมื่อสนใจค่าตัวประกอบเสียดทานที่เพิ่มขึ้น ( $f/f_0$ ) พบร่วมกับการใส่เห็นรูปด้วยที่ค่า  $R_s = 1.0$  อยู่ในช่วง 27-29 เท่าจากท่อผิวเรียบ



รูปที่ 6 ความสัมพันธ์ระหว่างตัวเลขเรย์โนลต์และสัดส่วนตัวประกอบเสียดทาน

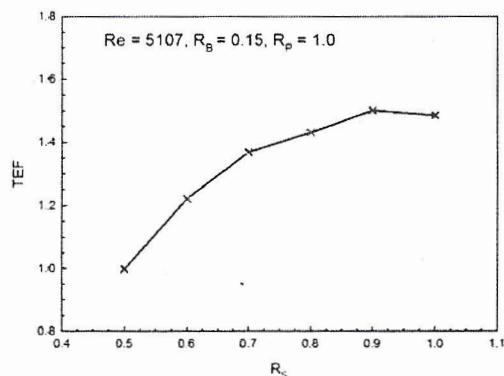
จากรูปที่ 7 ความสัมพันธ์ระหว่างตัวเลขเรย์โนลต์ และสมรรถนะการเพิ่มการถ่ายเทความร้อนกรณีที่มีการใส่เห็นรูปด้วยที่มีค่า  $R_s$  ต่างๆ ผลของการเพิ่มการถ่ายเทความร้อนและตัวประกอบเสียดทานจากการใส่เห็นรูปด้วยที่ค่า  $R_s$  ต่างๆ กรณีได้สามารถดึงสมรรถนะการเพิ่มการถ่ายเทความร้อนออกมากได้สูงสุดโดยนำมาเบรียบที่ค่า  $R_s = 0.9$  จะทำให้เครื่องแลกเปลี่ยนความร้อนมีค่าสมรรถนะการเพิ่มการถ่ายเทความร้อนสูงสุดและลดลงที่ค่า  $R_s = 1.0, 0.8, 0.7, 0.6$  และ  $0.5$  ตามลำดับ เนื่องจากการใส่เห็นรูปด้วยที่ค่า  $R_s = 0.9$  สามารถเพิ่มค่าการถ่ายเทความร้อนให้ใกล้เคียงกับค่า  $R_s = 1.0$  ในขณะที่การเพิ่มขึ้นของค่าตัวประกอบเสียดทานเมื่อค่าน้อยกว่า เนื่องจากผลของซ่องว่างของเห็นรูปด้วยที่ 10% ที่หายไปไม่ส่งผลต่อการเพิ่มการถ่ายเทความร้อนแต่กลับส่งผลให้ค่าตัวประกอบเสียดทานลดลง

สำหรับการใส่เห็นรูปด้วยที่สามารถทำให้ค่าสมรรถนะการเพิ่มการถ่ายเทความร้อนเพิ่มขึ้นสูงสุดที่ค่า  $R_s = 0.9$  อยู่ในช่วง 1.3-1.5 เท่าจากท่อผิวเรียบ



รูปที่ 7 ความสัมพันธ์ระหว่างตัวเลขเรย์โนลต์ และสมรรถนะการเพิ่มการถ่ายเทความร้อน

จากรูปที่ 8 แสดงผลการเปลี่ยนแปลงค่าสมรรถนะการเพิ่มการถ่ายเทความร้อนจากการใส่เห็นรูปด้วยที่มีค่า  $R_s$  ต่างๆ ที่ค่า  $Re = 5107$  พบร่วมกับสมรรถนะการเพิ่มการถ่ายเทความร้อนจะมีค่าสูงสุดที่ค่า  $R_s = 0.9$  และมีค่าลดลงอย่างรวดเร็วที่ค่า  $R_s = 0.8, 0.7, 0.6$  และ  $0.5$  ตามลำดับ ในขณะที่ค่า  $R_s = 1.0$  ก็มีค่าลดลงจากค่า  $R_s = 0.9$  เล็กน้อย



รูปที่ 8 ความสัมพันธ์ระหว่างค่าอัตราส่วนช่องว่างและสมรรถนะการเพิ่มการถ่ายเทความร้อน

ตารางที่ 1 การถ่ายเทความร้อน ตัวประกอบเสียดทานและสมรรถนะการเพิ่มการถ่ายเทความร้อน

กรณีศึกษา	$Nu/Nu_0$	$f/f_0$	TEF
เห็นรูปด้วยที่ $L_s=1.0$	3.9-4.5	27-29	1.25-1.49
เห็นรูปด้วยที่ $L_s=0.9$	3.8-4.4	26-28	1.26-1.50
เห็นรูปด้วยที่ $L_s=0.8$	3.5-4.0	22-24	1.21-1.43
เห็นรูปด้วยที่ $L_s=0.7$	3.2-3.7	19-21	1.15-1.37
เห็นรูปด้วยที่ $L_s=0.6$	2.7-3.1	17-18	1.03-1.22
เห็นรูปด้วยที่ $L_s=0.5$	2.1-2.4	15-16	0.84-1.00

## 5. สรุปผลการทดลอง

จากการวิจัยพบว่าการใส่ແຫວງຢູ່ປັດວົງໃນເຄື່ອງແລກເປົ້າຢືນຄວາມຮ້ອນສາມາດเพิ่มຄໍາການຄ່າຍເທຄວາມຮ້ອນໃຫ້ສູງເຖິງ 4.4-4.5 ເທິງຈະກຳໄດ້ຄໍາການທີ່ຄ່າ  $R_s = 1.0$  ແລະ 0.9 ແລະຍັງພົບວ່າການໃສ່ແຫວງດັວງຈະໄດ້ໃຫ້ຄໍາການທີ່ຄ່າ  $R_s = 1.0$  ເທິກັນ 29 ເທິງ ແລະເພີ່ມຂຶ້ນນ້ອຍທີ່ສຸດທີ່ຄ່າ  $R_s = 0.5$  ເທິກັນ 15 ເທິງຈາກທີ່ຄໍາການ ເນື້ອທຽບກຳລົງຜລກຮະບົບທີ່ເກີດຂຶ້ນຈາກການໃສ່ແຫວງຢູ່ປັດວົງໃນຮູບປົວກອບສິ່ຍດທານເພີ່ມຂຶ້ນນາກເຊັນກັນ ໂດຍຈະເພີ່ມຂຶ້ນສູງສຸດທີ່ຄ່າ  $R_s = 1.0$  ເທິກັນ 29 ເທິງ ແລະເພີ່ມຂຶ້ນນ້ອຍທີ່ສຸດທີ່ຄ່າ  $R_s = 0.5$  ເທິກັນ 15 ເທິງຈາກທີ່ຄໍາການ ເນື້ອທຽບກຳລົງຜລກຮະບົບທີ່ເກີດຂຶ້ນຈາກການໃສ່ແຫວງຢູ່ປັດວົງໃນຮູບປົວກອບສິ່ຍດທານເພີ່ມຂຶ້ນທີ່ເໝາະສົມເມື່ອເປົ້າຍບົດຕືກກຳດ້ວຍກຳນົດກຳນົດທີ່ເພີ່ມຂຶ້ນ (TEF) ຈະອຸຍ່ງທີ່ຄ່າ  $R_s = 0.9$  ແລະມີຄ່າສູງທີ່ສຸດເທິກັນ 1.5

### ເອກສາຣອ້າງອີງ

- [1] ວິທູ່ຍົງດ້ວຍທອງ, “ການເພີ່ມປະສິກີນກາພກການຄ່າຍເທຄວາມຮ້ອນໃນທົກລົມໂດຍໃຊ້ດ້ວຍສ້າງຄວາມບັນປຳນັ່ນ Coiled-wire ແລະໃນນິດ”, ວິທາຍານີພນ້ວົວກາຮຽນສາສດຮມທະບັນທຶດ ສາຂາວິชาວິກາຮຽນເຄື່ອງກຳ ຄະນະວິກາຮຽນສາສດຣ, ສານັບແທກໂນໂລຢີ ພະຈອນເກົລ້າເຈົ້າຄຸນທາຮາດກະບັງ, 2551.
- [2] P. Promvonge, N. Koolnapadol, M. Pimsarn and C. Thianpong, Thermal performance enhancement in a tube fitted with inclined vortex rings, Applied Thermal Engineering, 62 (2014) 285-292.
- [3] S. Chokphoephun, M. Pimsarn, C. Thianpong and P. Promvonge, Heat transfer augmentation in a circular tube with winglet vortex generators, Chinese Journal of Chemical Engineering, 23 (2015) 605-614.
- [4] S. Skullong, P. Promvonge, C. Thianpong and M. Pimsarn, Heat transfer and turbulent flow friction in a round tube with staggered-winglet perforated-tapes, International Journal of Heat and Mass Transfer, 95 (2016) 230–242.